

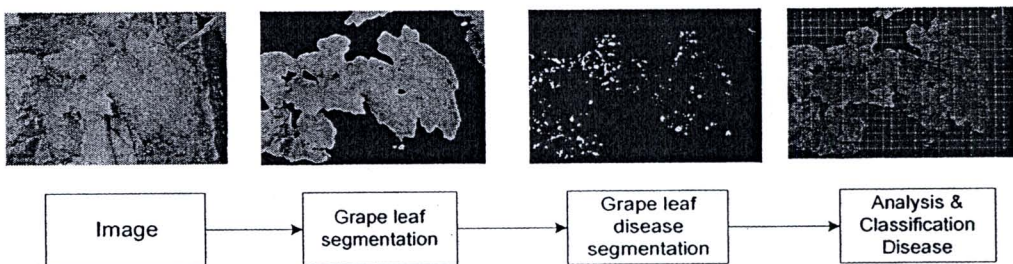
## บทที่ 6

### วิเคราะห์ผลการทดสอบและอภิปรายสมรรถนะของระบบ

#### 6.1 กล่าวนำ

ในบทนี้ได้นำเสนอการทดสอบการวินิจฉัยโรคในอุ่นค่าวิธีการดังที่กล่าวไว้แล้ว ได้ทำ การวิเคราะห์ปัจจัยต่าง ๆ ที่เกี่ยวข้องกับระบบการวินิจฉัยโรคในอุ่นชั่งได้แก่ การทดสอบอิทธิพล และความสำคัญของจำนวนช่องสัญญาณตัวรองงานอร์ การทดสอบอิทธิพลการแปลงไม่เป็นเชิงเส้นของเนื้องค์ประกอบ การวิเคราะห์การจำแนกประเภทของโรคพิชชาการหาค่าที่เหมาะสมที่สุด ของพารามิเตอร์ MSOFM ด้วย GA การทดสอบปริภูมิสีสำหรับการแบ่งกลุ่มสีในอุ่นออกจากภาพพื้นหลัง การทดสอบปริภูมิสีสำหรับการแบ่งกลุ่มสีโรคออกจากในอุ่น การทดสอบปริภูมิสีสำหรับ การจำแนกประเภทของโรค อีกทั้งได้ทดสอบความสามารถในการคัดแยกสีในอุ่นออกจากภาพพื้นหลัง และทดสอบความสามารถในการคัดแยกสีโรคออกจากในอุ่นค่าวิธีการทดสอบการวินิจฉัยโรคของระบบในสภาพต่าง ๆ ดังรายละเอียดต่อไปนี้

#### 6.2 โครงสร้างระบบการวินิจฉัยโรค



รูปที่ 6.1 โครงสร้างระบบการวินิจฉัยโรคในอุ่น

ระบบการวินิจฉัยโรคในอุ่นสามารถสรุปการทำงานหลักของระบบโดยแบ่งการทำงานหลักของระบบออกเป็น 3 กระบวนการ คือ กระบวนการที่หนึ่ง เป็นกระบวนการคัดแยกสีในอุ่น ออกจากภาพพื้นหลัง กระบวนการที่สอง เป็นกระบวนการคัดแยกสีโรคของในอุ่น และ กระบวนการสุดท้าย เป็นกระบวนการจำแนกประเภทของโรค ดังแสดงในรูปที่ 6.1

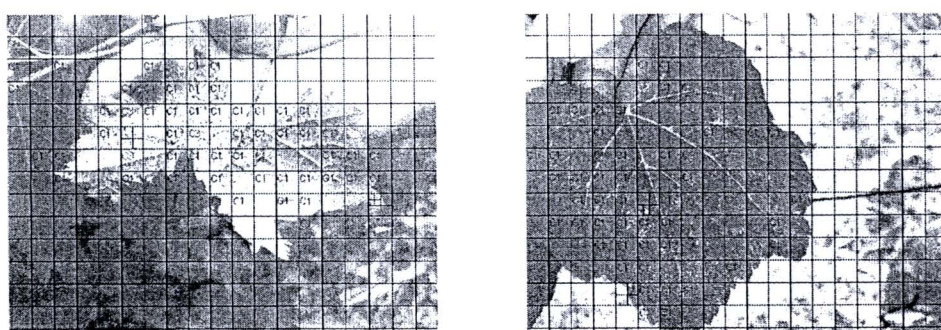
### 6.3 ผลการทดสอบการหาค่าที่เหมาะสมที่สุดของพารามิเตอร์ MSOFM

สำหรับการวิเคราะห์การหาค่าที่เหมาะสมที่สุดของพารามิเตอร์ MSOFM ในการแบ่งกลุ่มสีแบบอัตโนมัติให้เหมาะสมในแต่ละภาพสำหรับการคัดแยกสีโรคด้วยอัลกอริทึมการหาค่าที่เหมาะสมที่สุดร่วมกับ GA เพื่อพิจารณาความสามารถในการวินิจฉัยโรคในอุ่นของระบบที่ได้จากการกระบวนการหาค่าที่เหมาะสมที่สุดของพารามิเตอร์ MSOFM โดยพิจารณาทำการทดสอบภาพขนาด  $426 \times 568$  จุดภาพตามโครงสร้างการทำงานของระบบดังแสดงในรูปที่ 6.1 ภาพที่ใช้ทดสอบเป็นภาพของโรคสแคป 120 ภาพ โรคราชนิม 115 ภาพ และไม่เป็นโรค 154 ภาพที่ไม่ผ่านการฝึกสอนกับ SVMs ส่วนการฝึกสอน SVMs ใช้จำนวนตัวอย่างจุดโรคสแคปทั้งหมด 497 จุด โรคจากภาพโรคสแคปทั้งหมด 22 ภาพ จำนวนตัวอย่างจุดโรคราชนิมทั้งหมด 489 จุด โรคจากภาพโรคราชนิมทั้งหมด 21 ภาพ และจำนวนตัวอย่างจุดที่ไม่เป็นโรคทั้งหมด 492 จุดที่ไม่เป็นโรคจากภาพที่ไม่เป็นโรคทั้งหมด 22 ภาพดังแสดงในรูปที่ 6.2–6.4 โดยที่สัญลักษณ์ภายในภาพ C1 คือ โรคสแคป C2 คือ โรคราชนิม และ C3 คือ ไม่เป็นโรค และได้ทำการพิจารณาประสิทธิภาพของระบบการจำแนกประเภทของโรคในอุ่นด้วยการหาค่าที่เหมาะสมที่สุดของพารามิเตอร์ MSOFM ร่วมกับ GA ดังแสดงในตารางที่ 6.1

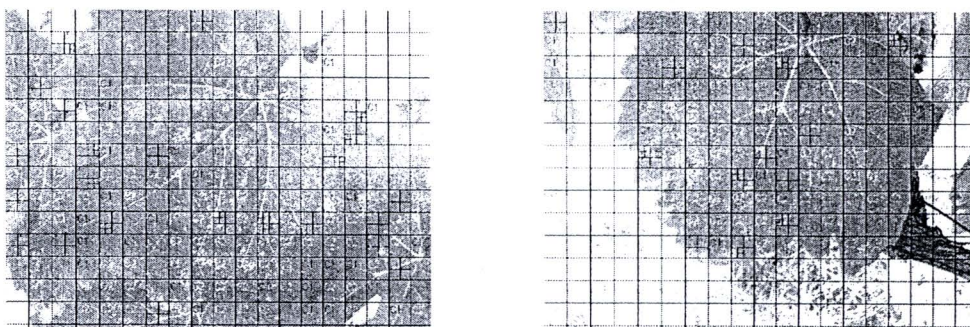
ตารางที่ 6.1 เปอร์เซ็นต์ความถูกต้องในการวินิจฉัยโรคในอุ่นของระบบด้วยการหาค่าที่เหมาะสม

ที่สุดของพารามิเตอร์ MSOFM ร่วมกับ GA

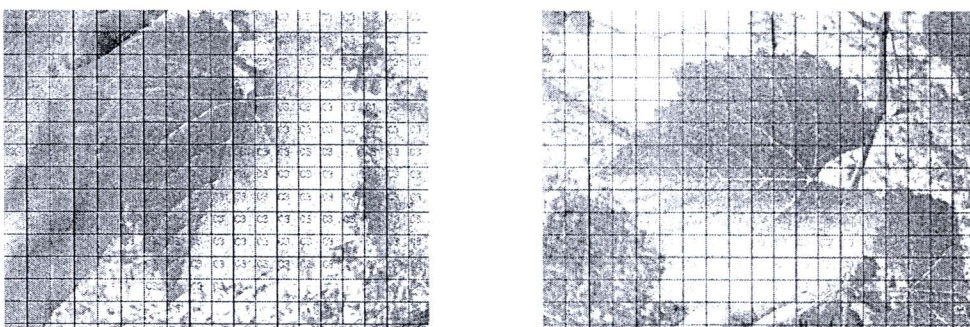
สแคป (%)	ราชนิม (%)	ไม่เป็นโรค (%)	ความถูกต้องเฉลี่ย (%)	การตรวจ (%)
93.38	85.33	95.89	91.53	99.33



รูปที่ 6.2 ตัวอย่างการวินิจฉัยภาพในอุ่นที่เป็นโรคสแคปด้วยการหาค่าเหมาะสมที่สุดของพารามิเตอร์ MSOFM ร่วมกับ GA



รูปที่ 6.3 ตัวอย่างการวินิจฉัยภาพใบอุ่นที่เป็นโรคสนิมด้วยการหาค่าเหมาะสมที่สุดของพารามิเตอร์ MSOFM ร่วมกับ GA

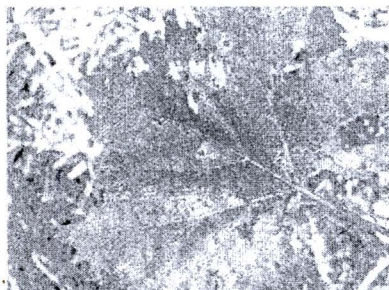


รูปที่ 6.2 ตัวอย่างผลการวินิจฉัยภาพใบอุ่นที่ไม่เป็นโรคด้วยการหาค่าเหมาะสมที่สุดของพารามิเตอร์ MSOFM ร่วมกับ GA

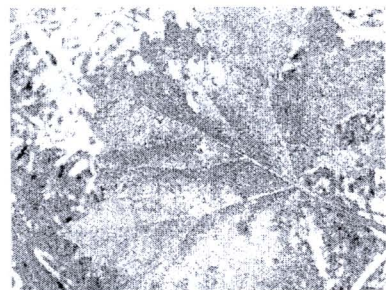
#### 6.4 ผลการทดสอบความสามารถในการคัดแยกสีใบอุ่นออกจากภาพพื้นหลัง

ในหัวข้อนี้จะทำการพิจารณาความสามารถในการคัดแยกสีของใบอุ่นออกจากภาพพื้นหลังด้วย BPNN ด้วยหลักการทำงานที่ได้กล่าวรายละเอียดในบทที่ 3 และได้ทดสอบระบบจากภาพที่มีขนาด  $426 \times 568$  ชุดภาพจำนวน 231 ภาพและทำการฝึกสอนระบบด้วยข้อมูลภาพที่เป็นสีใบอุ่นและไม่ใช่สีใบอุ่นจากกลุ่มสีที่ได้จากการแบ่งกลุ่มสีของ SOFM มาทำการฝึกสอนด้วยจำนวนตัวอย่างสีใบอุ่นทั้งหมด 200 ตัวอย่าง จากภาพทั้งหมด 41 ภาพและตัวอย่างภาพที่ไม่ใช่สีใบอุ่นจำนวน 210 ตัวอย่าง โดยพิจารณาผลการทดสอบความสามารถในการคัดแยกสีใบอุ่นออกจากภาพพื้นหลังแบ่งตามลักษณะของความซับซ้อนของลักษณะพื้นหลังของภาพ คือ ลักษณะพื้นหลังที่มีความซับซ้อนน้อย ลักษณะพื้นหลังที่มีความซับซ้อนปานกลาง และลักษณะพื้นหลังที่มีความ

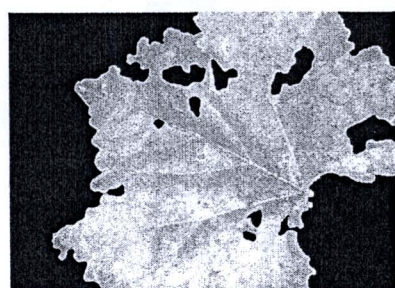
ชั้บช้อนมาก นอกจากนี้ชั้งได้ทำการทดสอบระบบเมื่อมีสภาวะแสงสว่างแตกต่างกัน ได้แก่ สภาวะแสงสว่างมาก สภาวะแสงสว่างปานกลางและสภาวะมีครึ่ม ได้ผลดังนี้



(ก) ภาพต้นแบบ

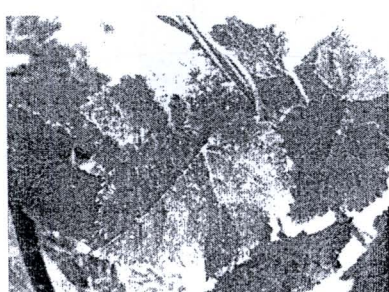


(ข) ภาพการปรับสีและแสงของภาพต้นแบบ

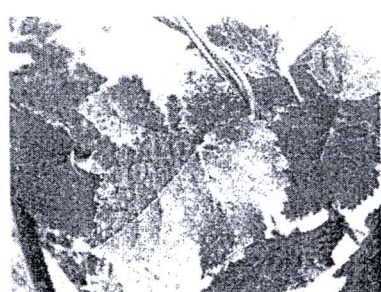


(ค) ภาพการคัดแยกสีในอุ่นด้วย BPNN

รูปที่ 6.3 ตัวอย่างการคัดแยกสีในอุ่นออกจากภาพพื้นหลังที่ชั้บช้อนนอบ

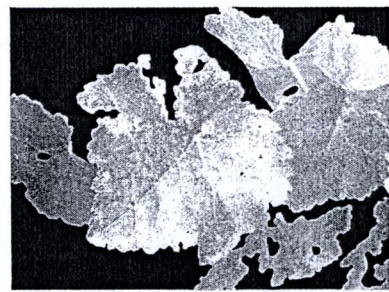


(ก) ภาพต้นแบบ



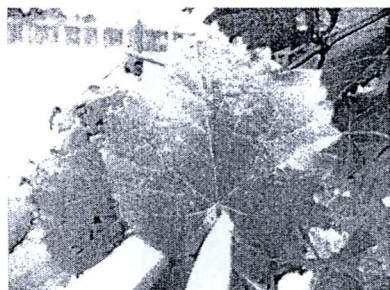
(ข) ภาพการปรับสีและแสงของภาพต้นแบบ

รูปที่ 6.4 ตัวอย่างการคัดแยกสีในอุ่นออกจากภาพพื้นหลังที่ชั้บช้อนปานกลาง



(ค) ภาพการคัดแยกสีในอุ่นด้วย BPNN

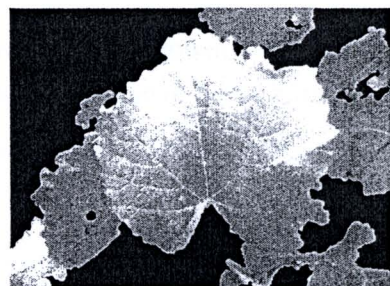
รูปที่ 6.4 ตัวอย่างการคัดแยกสีในอุ่นออกจากภาพพื้นหลังที่ซับซ้อนปานกลาง (ต่อ)



(ก) ภาพต้นแบบ

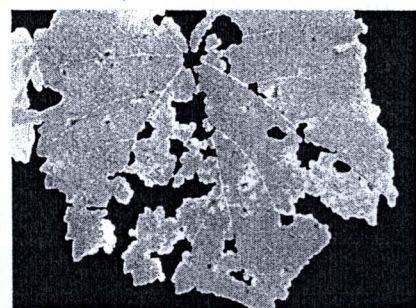
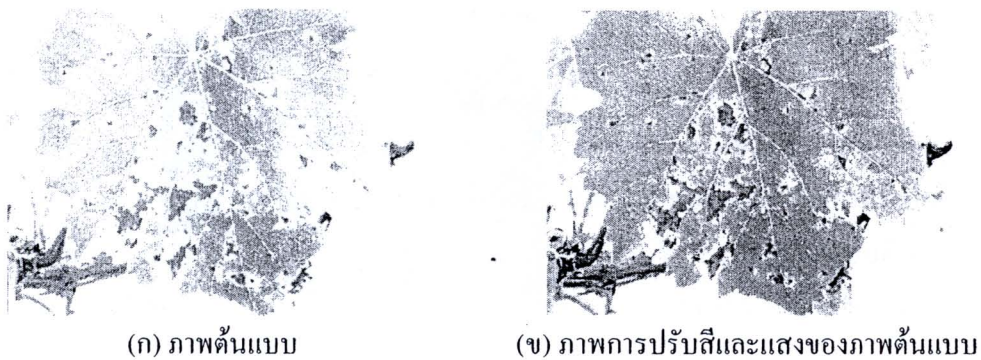


(ข) ภาพการปรับสีและแสงของภาพต้นแบบ



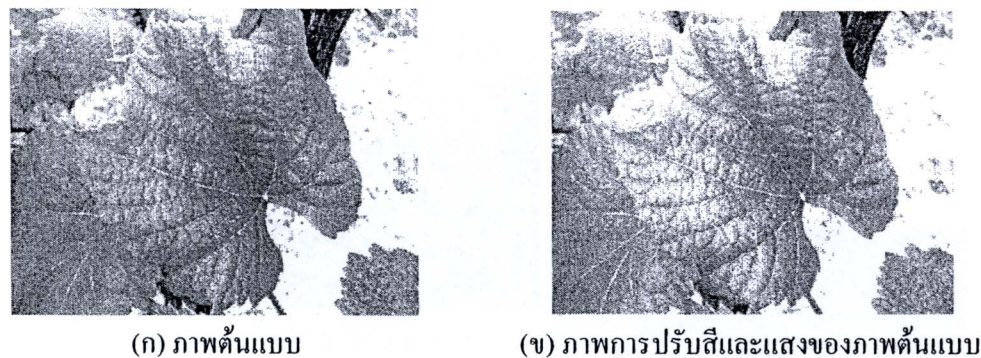
(ค) ภาพการคัดแยกสีในอุ่นด้วย BPNN

รูปที่ 6.5 ตัวอย่างการคัดแยกสีในอุ่นออกจากภาพพื้นหลังที่ซับซ้อนมาก

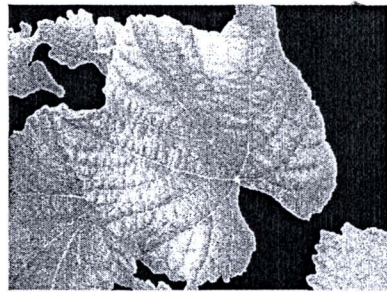


(ค) ภาพการคัดแยกสีในอุ่นด้วย BPNN

รูปที่ 6.6 ตัวอย่างการคัดแยกสีในอุ่นออกจากภาพพื้นหลังที่สภาวะแสงสว่างมาก



รูปที่ 6.7 ตัวอย่างการคัดแยกสีในอุ่นออกจากภาพพื้นหลังที่สภาวะแสงสว่างปานกลาง



(ก) ภาพการคัดแยกสีในอุ่นด้วย BPNN

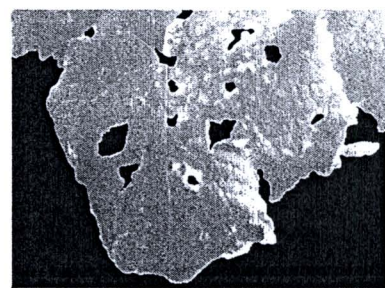
รูปที่ 6.7 ตัวอย่างการคัดแยกสีในอุ่นออกจากการพื้นหลังที่  
สภาวะแสงสว่างปานกลาง (ต่อ)



(ก) ภาพต้นแบบ



(ข) ภาพการปรับสีและแสงของภาพต้นแบบ

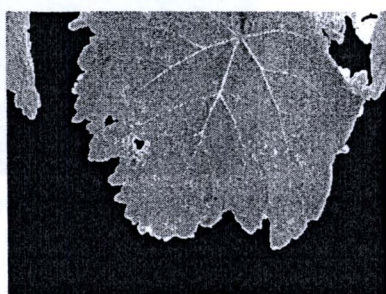


(ก) ภาพการคัดแยกสีในอุ่นด้วย BPNN

รูปที่ 6.8 ตัวอย่างการคัดแยกสีในอุ่นออกจากการพื้นหลังที่สภาวะมีครีม

## 6.5 ผลการทดสอบความสามารถในการคัดแยกสีโรคออกจากใบอุ่น

ในหัวข้อนี้จะทำการพิจารณาความสามารถในการคัดแยกสีโรคออกจากใบอุ่นด้วย SVMs ด้วยหลักการทำงานที่ได้ก่อตัวรายละเอียดในบทที่ 4 และได้ทำการทดสอบระบบด้วยภาพขนาด  $426 \times 568$  จุดภาพจำนวน 700 ภาพและทำการฝึกสอนระบบด้วยข้อมูลภาพที่เป็นสีโรคและไม่ใช่สีโรคที่ได้จากการแบ่งกลุ่มสีของ MSOFM มาทำการฝึกสอนระบบด้วยจำนวนตัวอย่างสีโรคที่ใช้ฝึกสอนมีทั้งหมด 45 ตัวอย่าง จากภาพทั้งหมด 14 ภาพและตัวอย่างภาพที่ไม่ใช่สีโรคจำนวน 48 ตัวอย่าง โดยพิจารณาผลทดสอบความสามารถในการคัดแยกสีโรคออกจากใบอุ่นแบ่งตามลักษณะความซับช้อนของลักษณะใบอุ่นของภาพ คือ ลักษณะใบอุ่นที่มีความซับช้อนน้อย ลักษณะใบอุ่นที่มีความซับช้อนปานกลางและลักษณะใบอุ่นที่มีความซับช้อนมาก นอกเหนือไปนี้ยังได้ทำการทดสอบระบบเมื่อมีสภาวะแสงสว่างแตกต่างกัน ได้แก่ สภาวะแสงสว่างมาก สภาวะแสงสว่างปานกลางและสภาวะมืดครึ่ง เพื่อคุณลักษณะทดสอบการคัดแยกสีโรคออกจากใบอุ่นตามลักษณะความซับช้อนของภาพ ได้ผลดังต่อไปนี้

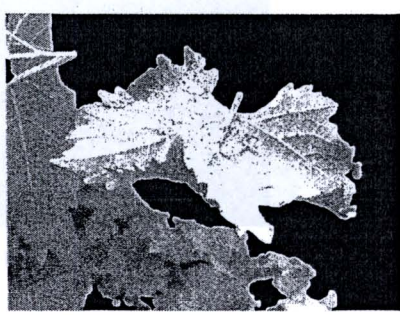


(ก) ภาพต้นแบบ



(ข) ภาพการคัดแยกสีโรคด้วย SVMs

รูปที่ 6.9 ตัวอย่างการคัดแยกสีโรคออกจากใบอุ่นที่มีความซับช้อนน้อย



(ก) ภาพต้นแบบ



(ข) ภาพการคัดแยกสีโรคด้วย SVMs

Error! Reference source not found. ตัวอย่างการคัดแยกสีโรคที่มีความซับช้อนปานกลาง

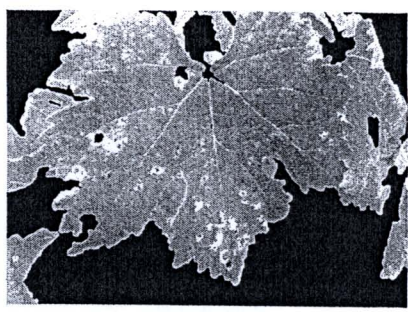


(ก) ภาพต้นแบบ



(ข) ภาพการคัดแยกสีโรคด้วย SVMs

รูปที่ 6.10 ตัวอย่างการคัดแยกสีโรคที่มีความซับซ้อนมาก

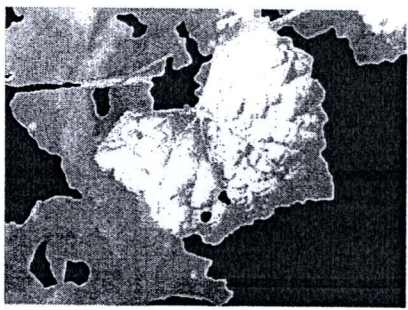


(ก) ภาพต้นแบบ



(ข) ภาพการคัดแยกสีโรคด้วย SVMs

รูปที่ 6.16 ตัวอย่างการคัดแยกสีโรคที่สภาวะแสงสว่างมาก

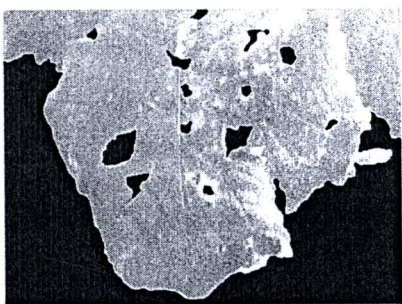


(ก) ภาพต้นแบบ



(ข) ภาพการคัดแยกสีโรคด้วย SVMs

Error! Reference source not found. ตัวอย่างการคัดแยกสีโรคที่สภาวะแสงสว่างปานกลาง



(ก) ภาพเดือนแบบ



(ข) ภาพการคัดแยกสีโดย SVMs

รูปที่ 6.11 ตัวอย่างการคัดแยกสีโดย SVMs

### 6.6 ผลการทดสอบปริภูมิสีสำหรับการแบ่งกลุ่มสีในอุ่นออกจากภาพพื้นหลัง

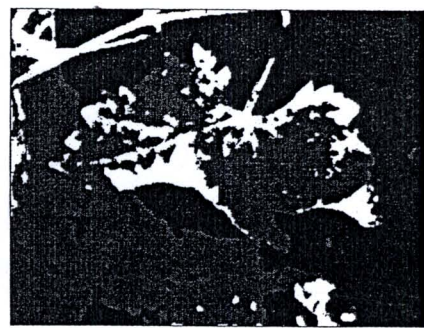
เป็นการพิจารณาปัจจัยของการเลือกปริภูมิสีสำหรับแบ่งแยกความแตกต่างระหว่างสีในอุ่น และภาพพื้นหลัง ซึ่งในที่นี้ได้พิจารณาปริมาณที่บันความสามารถในการแยกความแตกต่างระหว่างสี ในอุ่นและภาพพื้นหลังด้วยปริภูมิสี RGB HSV XYZ CIE\*L\*a\*b CIE\*L\*u\*v และ YCbCr ซึ่งในที่นี้จะไม่ทำการพิจารณาของปริภูมิสีที่เกี่ยวข้องกับระดับความสว่างของภาพเพื่อลดผลกระทบของสภาวะการเปลี่ยนแปลงของแสงสว่างดังรายละเอียดหลักการทำงานที่ได้กล่าวรายละเอียดไว้ในบทที่ 3 โดยพิจารณากำหนดจำนวนกลุ่มสีของภาพที่ต้องการทดสอบให้กับ SOFM จำนวน 3 กลุ่มสีที่ค่าเดียวกันทั้งหมดและทำการทดสอบการแบ่งกลุ่มสีในอุ่นออกจากภาพพื้นหลังด้วยภาพขนาด  $426 \times 568$  จุดภาพ ดังแสดงในรูปที่ 6.19 โดยที่แต่ละสีภายในภาพเป็นตัวแทนของกลุ่มสีนั้น ๆ



(ก) ผลการแบ่งกลุ่มสีของ SOFM จากการเลือกช่องปริภูมิสี H S



รูปที่ 6.12 ผลการทดสอบปริภูมิสีสำหรับการแบ่งกลุ่มสีในอุ่นออกจากภาพพื้นหลัง



(ข) ผลการแบ่งกลุ่มสีของ SOFM จากการเลือกช่องปริภูมิสี  $a^* b^*$



(ค) ผลการแบ่งกลุ่มสีของ SOFM จากการเลือกช่องปริภูมิสี  $H a^*$



(ง) ผลการแบ่งกลุ่มสีของ SOFM จากการเลือกช่องปริภูมิสี  $H b^*$

รูปที่ 6.12 ผลการทดสอบปริภูมิสีสำหรับการแบ่งกลุ่มสีในอุ่นออกจากการพื้นหลัง (ต่อ)



(ก) ผลการแบ่งกลุ่มสีของ SOFM จากการเลือกช่องปริภูมิสี X Y

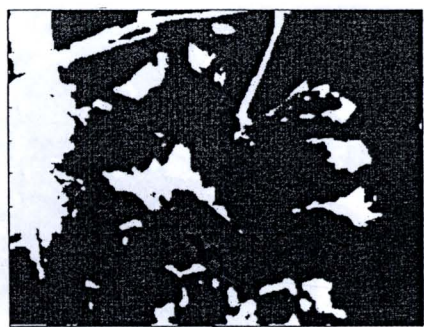


(ก) ผลการแบ่งกลุ่มสีของ SOFM จากการเลือกช่องปริภูมิสี X Z

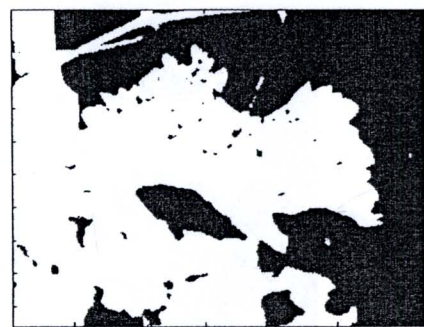


(ก) ผลการแบ่งกลุ่มสีของ SOFM จากการเลือกช่องปริภูมิสี Y Z

**รูปที่ 6.12** ผลการทดสอบปริภูมิสีสำหรับการแบ่งกลุ่มสีในองุ่นออกจากภาพพื้นหลัง (ต่อ)



(ช) ผลการแบ่งกลุ่มสีของ SOFM จากการเลือกช่องปริภูมิสี  $u^* v^*$



(ด) ผลการแบ่งกลุ่มสีของ SOFM จากการเลือกช่องปริภูมิสี  $Cb Cr$



(ต) ผลการแบ่งกลุ่มสีของ SOFM จากการเลือกช่องปริภูมิสี  $R G$

**รูปที่ 6.12** ผลการทดสอบปริภูมิสีสำหรับการแบ่งกลุ่มสีในองุ่นออกจากภาพพื้นหลัง (ต่อ)



(๑) ผลการแบ่งกลุ่มสีของ SOFM จากการเลือกช่องปริภูมิสี G B

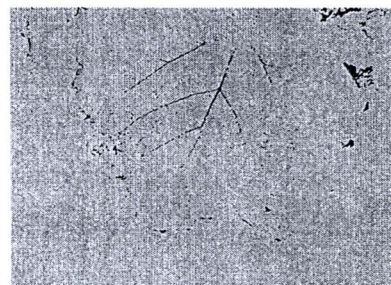
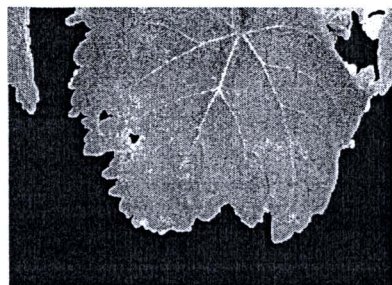
รูปที่ 6.12 ผลการทดสอบปริภูมิสีสำหรับการแบ่งกลุ่มสีในอุ่นออกจากภาพพื้นหลัง (ต่อ)

สำหรับการพิจารณาการคัดแยกสีในอุ่นออกจากพื้นหลังจากข้อมูลการแบ่งกลุ่มสีของ SOFM ใน การแบ่งแยกความแตกต่างระหว่างข้อมูลที่เป็นสีในอุ่นและไม่ใช่สีในอุ่นเพื่อเป็นข้อมูลให้กับ BPNN เป็นตัวตัดสินในการคัดแยกสีในอุ่นออกจากภาพพื้นหลัง ได้อบ่างมีประสิทธิภาพ ซึ่งความสามารถในการคัดแยกสีในอุ่นออกจากภาพพื้นหลัง ได้อบ่างมีประสิทธิภาพนั้นปัจจัยหนึ่งที่มีความสำคัญกับระบบอย่างมาก คือ ความสามารถในการแยกความแตกต่างระหว่างข้อมูลสีในอุ่น และไม่ใช่สีในอุ่นของ SOFM จากการพิจารณาช่องปริภูมิสีต่าง ๆ เนื่องจากการคัดแยกสีในอุ่นในสภาวะแวดล้อมจริงนั้นจะมีอิทธิพลของแสงสว่าง เช่น สภาวะแสงสว่างมาก ปานกลางและมีคลื่นเป็นดัน นอกจ้านี้ลักษณะความซับซ้อนของข้อมูลภาพพื้นหลัง เช่น ฟาง เสา มนุษย์ หญ้า ก้อนหิน เป็นดัน ยังส่งผลกระทบต่อความสามารถในการคัดแยกสีในอุ่นออกจากภาพพื้นหลัง ได้อีกด้วย ดังนั้นการพิจารณาปริภูมิสีจึงมีความสำคัญอย่างมากสำหรับกระบวนการประมวลผลภาพเพื่อช่วยแยกความแตกต่างระหว่างสีในอุ่นและภาพพื้นหลังให้มากที่สุด ซึ่งจากการพิจารณาการแบ่งกลุ่มสีของ SOFM ด้วยการเลือกช่องปริภูมิสีต่าง ๆ ดังแสดงในรูปที่ 6.19 พบว่าช่องปริภูมิสี H b\* สามารถให้ความแตกต่างระหว่าง กลุ่มสีในอุ่นและไม่ใช่กลุ่มสีในอุ่น ได้อบ่างชัดเจนและครบถ้วนสมบูรณ์มากที่สุด รองลงมาคือ ช่องปริภูมิสี Cb Cr ดังนั้นจะเห็นว่าผลของการเลือกช่องปริภูมิสีส่งผลต่อการคัดแยกสีในอุ่นออกจากภาพพื้นหลังเป็นอย่างมาก ซึ่งการเลือกช่องปริภูมิสีที่ไม่เหมาะสมเป็นให้ประสิทธิภาพของระบบลดลงได้

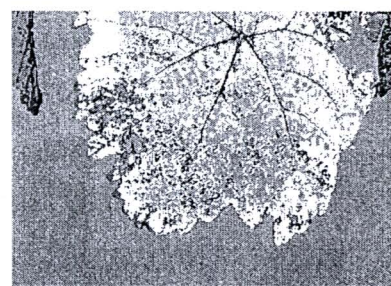
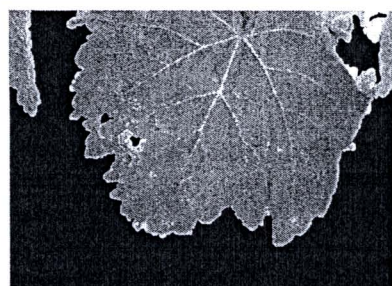
## 6.7 ผลการทดสอบปริภูมิสีสำหรับการแบ่งกลุ่มสีโดยออกจากใบอุ่น

เป็นการพิจารณาปัจจัยของการเลือกปริภูมิสำหรับแบ่งแยกความแตกต่างระหว่างสีโรคและใบอุ่น ซึ่งในที่นี้ได้พิจารณาเปรียบเทียบความสามารถในการแยกความแตกต่างระหว่างสีโรคและใบอุ่นด้วยปริภูมิสี RGB HSV XYZ CIE\*L\*a\*b\* CIE\*L\*u\*v\* และ YCbCr สำหรับในที่นี้จะไม่ทำ

การพิจารณาช่องปริภูมิสีที่เกี่ยวข้องกับระดับความสว่างของภาพเพื่อลดข้อจำกัดทางด้านแสงสว่างของภาพดังรายละเอียดหลักการทำงานที่ได้กล่าวไว้ในบทที่ 4 โดยพิจารณาเลือกช่องปริภูมิสีของภาพที่ต้องการทดสอบให้กับ MSOFM ร่วมกับ GA ในการหาค่าที่เหมาะสมที่สุดของค่าพารามิเตอร์เริ่มต้นของ MSOFM เพื่อให้สามารถแบ่งกลุ่มสีแยกความแตกต่างระหว่างสีโรคและสีใบอ่อนตามความเหมาะสมของการเปลี่ยนแปลงช่องปริภูมิสีของภาพที่ใช้ทดสอบ โดยทำการทดสอบการแบ่งกลุ่มสีโรคออกจากใบอ่อนด้วยภาพขนาด  $426 \times 568$  จุดภาพ ดังแสดงในรูปที่ 6.20 โดยที่แต่ละสีภายในภาพเป็นตัวแทนของกลุ่มสีนั้น ๆ



(ก) ผลการแบ่งกลุ่มสีของ MSOFM ร่วมกับ GA จำนวน 7 กลุ่มสี ด้วยช่องปริภูมิสี H a\* b\*

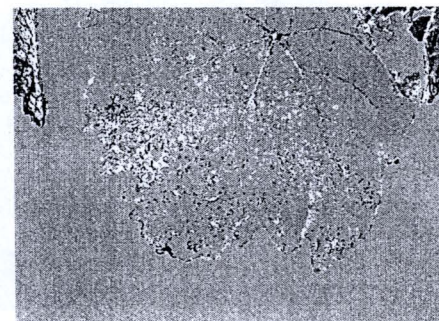
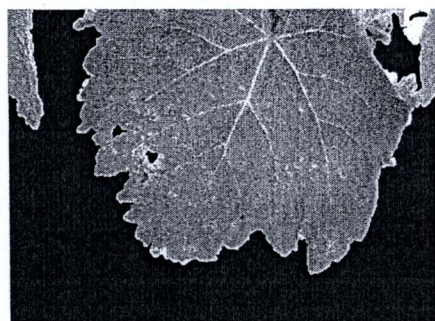


(ข) ผลการแบ่งกลุ่มสีของ MSOFM ร่วมกับ GA จำนวน 2 กลุ่มสี ด้วยช่องปริภูมิสี R G B

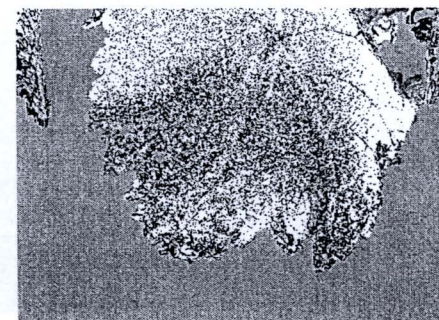
รูปที่ 6.13 ผลการทดสอบปริภูมิสีสำหรับการแบ่งกลุ่มสีโรคออกจากใบอ่อน



(ค) ผลการแบ่งกลุ่มสีของ MSOFM ร่วมกับ GA จำนวน 21 กลุ่มสี ด้วยช่องปริภูมิสี H a\* S

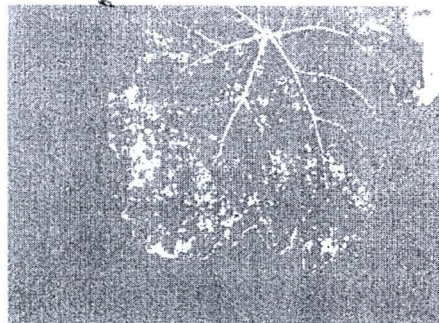
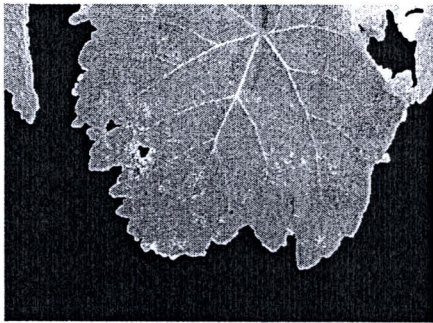


(ง) ผลการแบ่งกลุ่มสีของ MSOFM ร่วมกับ GA จำนวน 20 กลุ่มสี ด้วยช่องปริภูมิสี H S b\*

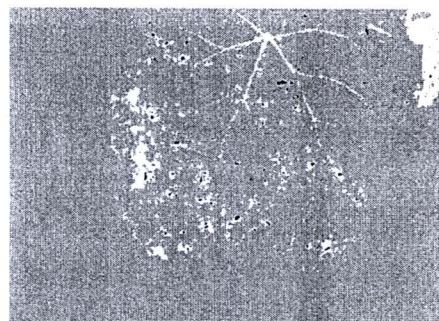
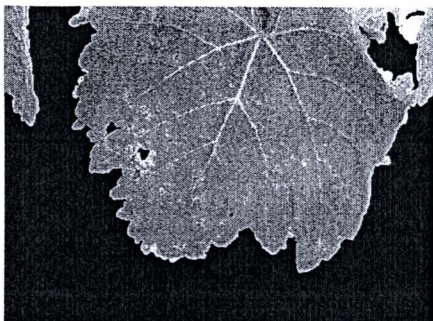


(จ) ผลการแบ่งกลุ่มสีของ MSOFM ร่วมกับ GA จำนวน 11 กลุ่มสี ด้วยช่องปริภูมิสี S a\* b\*

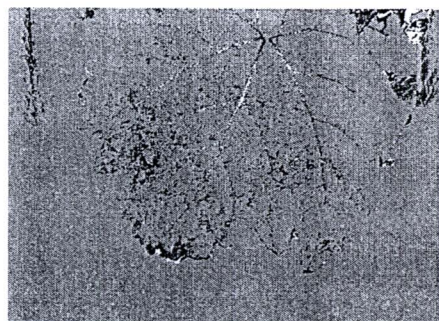
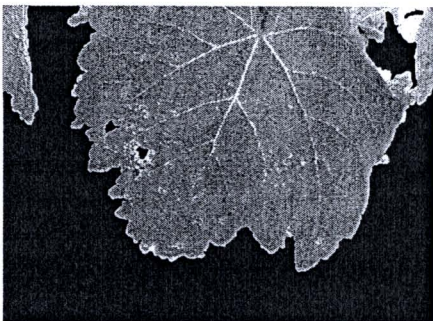
**รูปที่ 6.13** ผลการทดสอบปริภูมิสีสำหรับการแบ่งกลุ่มสีโดยออกจากใบอยู่นั่น (ต่อ)



(น) ผลการแบ่งกลุ่มสีของ MSOFM ร่วมกับ GA จำนวน 5 กลุ่มสี ด้วยช่องปริภูมิสี  $u^*$   $v^*$   $Cb$

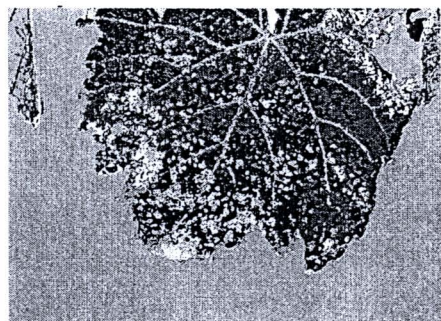
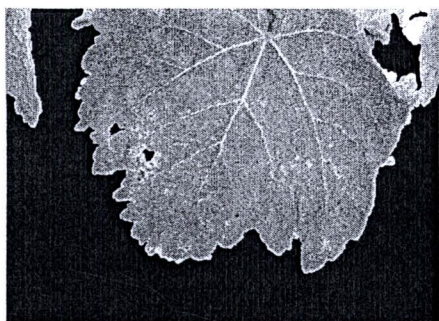


(ษ) ผลการแบ่งกลุ่มสีของ MSOFM ร่วมกับ GA จำนวน 3 กลุ่มสี ด้วยช่องปริภูมิสี  $u^*$   $a^*$   $b^*$

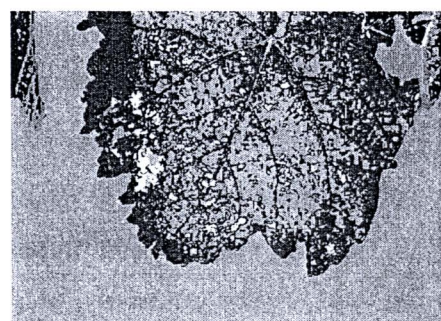
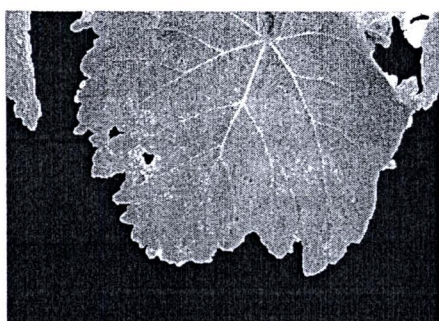


(ช) ผลการแบ่งกลุ่มสีของ MSOFM ร่วมกับ GA จำนวน 4 กลุ่มสี ด้วยช่องปริภูมิสี  $X$   $Y$   $Z$

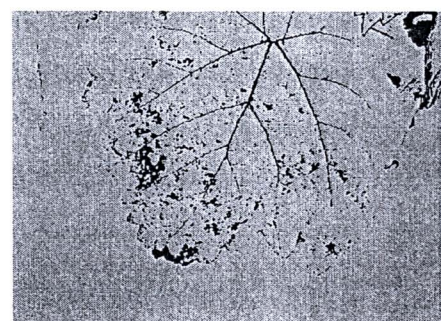
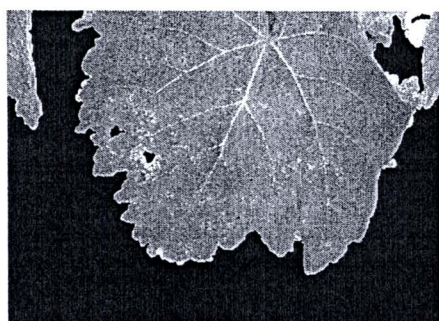
รูปที่ 6.13 ผลการทดสอบปริภูมิสีสำหรับการแบ่งกลุ่มสีโ Rodríguez จากใบอ่อน (ต่อ)



(ค) ผลการแบ่งกลุ่มสีของ MSOFM ร่วมกับ GA จำนวน 22 กลุ่มสี ด้วยช่องปริภูมิสี  $v^* a^* b^*$

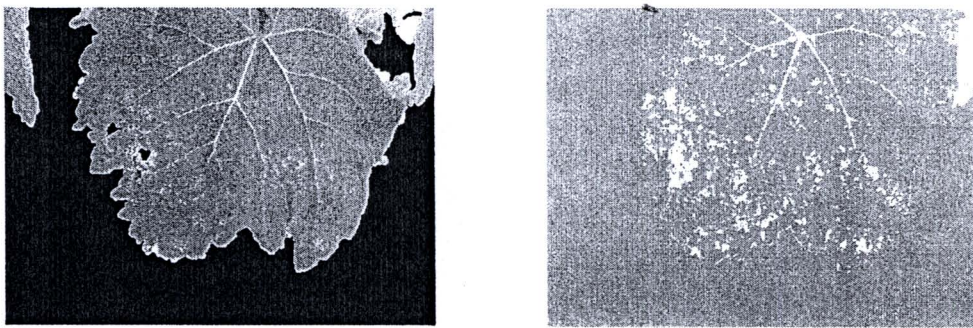


(ต) ผลการแบ่งกลุ่มสีของ MSOFM ร่วมกับ GA จำนวน 8 กลุ่มสี ด้วยช่องปริภูมิสี  $H\ Cb\ Cr$



(ด) ผลการแบ่งกลุ่มสีของ MSOFM ร่วมกับ GA จำนวน 2 กลุ่มสี ด้วยช่องปริภูมิสี  $X\ a^* b^*$

รูปที่ 6.13 ผลการทดสอบปริภูมิสีสำหรับการแบ่งกลุ่มสีโดยออกจากไปอยู่น (ต่อ)



(ท) ผลการแบ่งกลุ่มสีของ MSOFM ร่วมกับ GA จำนวน 4 กลุ่มสี ด้วยช่องปริภูมิสี a\* u\* Cr

รูปที่ 6.13 ผลการทดสอบปริภูมิสีสำหรับการแบ่งกลุ่มสีโรคออกจากใบอ่อน (ต่อ)

สำหรับการพิจารณาอิทธิพลของช่องปริภูมิสีสำหรับการคัดแยกสีโรคออกจากใบอ่อน เพื่อพิจารณาความแตกต่างของช่องปริภูมิสีในการแบ่งแยกความแตกต่างระหว่างข้อมูลสีโรคและไม่ใช้สีโรคของ MSOFM ร่วมกับ GA โดยไม่ทำการพิจารณาช่องปริภูมิสีที่เกี่ยวข้องกับระดับความสว่างของภาพเพื่อช่วยลดผลกระทบของการเปลี่ยนแปลงของแสงสว่าง จากการพิจารณาการแบ่งกลุ่มสีของ MSOFM ร่วมกับ GA จากการเลือกช่องปริภูมิสีต่าง ๆ ดังแสดงในรูปที่ 6.20 พนบว่าช่องปริภูมิสี a\* u\* Cr สามารถให้ความแตกต่างระหว่างกลุ่มสีโรคและกลุ่มสีใบอ่อนได้อย่างชัดเจนและครบถ้วน สมบูรณ์มากที่สุดด้วยจำนวนกลุ่มสี 4 กลุ่มสี ดังแสดงในรูปที่ 6.20 (น) จะเห็นว่าสามารถคัดแยกส่วนที่เป็นสีโรคออกจากใบอ่อนได้เป็นอย่างดี อันดับรองลงมาคือ ช่องปริภูมิสี u\* a\* b\* ซึ่งสามารถให้ความแตกต่างระหว่างกลุ่มสีโรคและกลุ่มสีใบอ่อนด้วยจำนวนกลุ่มสี 3 กลุ่มสี ดังแสดงในรูปที่ 6.20 (ฉ) จะเห็นว่าสามารถคัดแยกส่วนที่เป็นสีโรคได้แต่ยังคงปรากฏส่วนของก้านใบอ่อนและช่องปริภูมิสี u\* v\* Cb ซึ่งสามารถให้ความแตกต่างระหว่างกลุ่มสีโรคและกลุ่มสีใบอ่อนด้วยจำนวนกลุ่มสี 5 กลุ่มสี ดังแสดงในรูปที่ 6.20 (ช) จะเห็นว่าสามารถคัดแยกส่วนที่เป็นสีโรคแต่ยังคงปรากฏส่วนของก้านใบอ่อนและส่วนของใบอ่อน ดังนั้นจะเห็นว่าผลของการเลือกช่องปริภูมิสีมีผลต่อการคัดแยกสีโรคออกจากใบอ่อนเป็นอย่างมาก ซึ่งการเลือกช่องปริภูมิสีที่ไม่เหมาะสมเป็นผลให้ความสามารถในการคัดแยกสีโรคออกจากใบอ่อนของระบบมีประสิทธิภาพลดลงได้

## 6.8 ผลการทดสอบปริภูมิสีสำหรับการจำแนกประเภทของโรคใบอ่อน

เป็นการพิจารณาปัจจัยของการเลือกปริภูมิในการจำแนกประเภทของโรคใบอ่อน ซึ่งในที่นี้ได้พิจารณาเบริร์บเทียบความสามารถในการจำแนกประเภทของโรคด้วยปริภูมิสี CIE\*L\*a\*b YIQ YUV และ YCbCr ซึ่งในที่นี้จะไม่ทำการพิจารณาช่องปริภูมิสีที่เกี่ยวข้องกับระดับความสว่างของภาพเพื่อลดข้อจำกัดทางด้านแสงสว่างของภาพดังรายละเอียดหลักการทำงานที่ได้กล่าวไว้ในบทที่ 5

โดยทำการทดสอบการจำแนกประเภทของโรคในอุ่นด้วยภาพขนาด  $426 \times 568$  จุดภาพ ตามโครงสร้างการทำงานของระบบดังแสดงในรูปที่ 6.1 ภาพที่ใช้ทดสอบเป็นภาพของโรคสแคป โรคราษฎร์และไม่เป็นโรคจำนวน 50 ภาพที่ไม่ผ่านการฝึกสอนกับ SVMs ส่วนการฝึกสอน SVMs ใช้จำนวนตัวอย่างจุดโรคสแคปทั้งหมด 497 จุด โรคจากภาพโรคสแคปทั้งหมด 22 ภาพ จำนวนตัวอย่างจุดโรคราษฎร์ทั้งหมด 489 จุด โรคจากภาพโรคราษฎร์ทั้งหมด 21 ภาพและจำนวนตัวอย่างจุดที่ไม่เป็นโรคทั้งหมด 492 จุดที่ไม่เป็นโรคจากภาพที่ไม่เป็นโรคทั้งหมด 22 ภาพ ซึ่งสามารถพิจารณาประสิทธิภาพการจำแนกประเภทของโรคในอุ่นด้วยช่องปริภูมิสีต่างๆ ดังแสดงในตารางที่ 6.2

ตารางที่ 6.2 เปอร์เซ็นต์ความถูกต้องในการวินิจฉัยโรคในอุ่นของระบบด้วยความหลากหลายของช่องปริภูมิสี

ประเภทช่องปริภูมิสี	สแคป (%)	ราษฎร์ (%)	ไม่เป็นโรค (%)	ความถูกต้องเฉลี่ย (%)	การตรวจ (%)
a* Cr V	63.38	51.29	96.08	70.25	98.60
a* I Cr	71.73	55.28	96.28	74.43	98.58
b* a* U	80.43	79.77	95.63	85.27	98.58
b* Cr V	72.46	78.80	95.91	82.39	98.60
I Cb Cr	73.67	75.77	96.41	84.19	98.61
Q b* Cr	76.34	76.29	96.31	82.98	98.59
b* Cb U	93.38	85.33	95.89	91.53	99.33

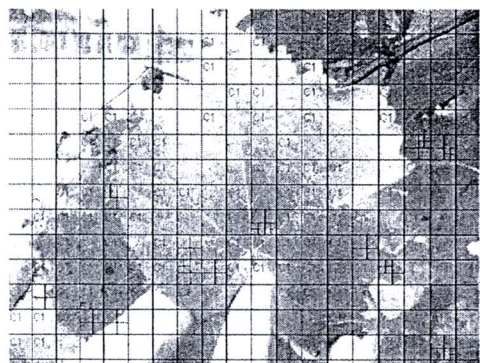
เมื่อพิจารณาประสิทธิภาพการวินิจฉัยโรคในอุ่นของระบบด้วยความหลากหลายของช่องปริภูมิสี พบร่วมกันว่าความแตกต่างของช่องปริภูมิสีมีอิทธิพลต่อการวินิจฉัยโรคในอุ่นของระบบเป็นอย่างมาก ดังแสดงในตารางที่ 6.4 จะเห็นว่าช่องปริภูมิสี b\* Cb U สามารถดึงความแตกต่างของลักษณะข้อมูลโรคสแคป โรคราษฎร์และไม่เป็นโรคได้ดีที่สุดเป็นผลให้ระบบสามารถจำแนกประเภทของโรคได้มีความถูกต้องมากยิ่งขึ้น โดยช่องปริภูมิสี b\* Cb U มีความสามารถในการวินิจฉัยโรคสแคปสูงถึง 93.38% โรคราษฎร์ 85.33% และไม่เป็นโรค 95.89% ซึ่งมีความถูกต้องในการวินิจฉัยโรคในระดับที่ค่อนข้างสูง ดังนั้นผลของการเลือกช่องปริภูมิสีมีผลต่อการวินิจฉัยโรคในอุ่นของระบบ ซึ่งการเลือกช่องปริภูมิสีที่ไม่เหมาะสมเป็นใหญ่สามารถในการวินิจฉัยโรคในอุ่นของระบบลดลง

### 6.9 ผลการทดสอบการวินิจฉัยโรคในอุ่นของระบบในสภาวะต่างๆ

เป็นการพิจารณาความสามารถในการวินิจฉัยโรคในอุ่นของระบบด้วยภาพทดสอบขนาด  $426 \times 568$  ชุดภาพจำนวน 850 ภาพ ตามโครงการสร้างการทำงานของระบบ ดังแสดงในรูปที่ 6.1 โดยพิจารณาแบ่งตามลักษณะความซับซ้อนของภาพ ได้แก่ ภาพที่มีความซับซ้อนมาก ภาพที่มีความซับซ้อนปานกลางและภาพที่มีความซับซ้อนน้อย อีกทั้งได้ทำการพิจารณาในสภาวะแสงสว่างที่แตกต่างกัน ได้แก่ สภาวะแสงสว่างมาก สภาวะแสงสว่างปานกลางและสภาวะมีครึ่ง รวมทั้งสภาวะที่มีขอบน้ำบนพื้นผิวใน ดังแสดงในรูปที่ 6.21-6.27

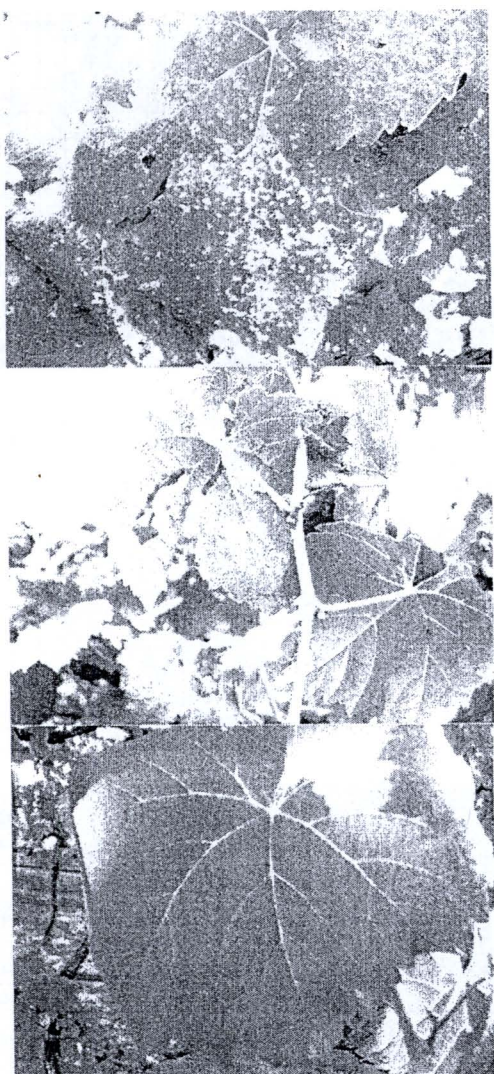


(ก) ภาพต้นแบบ

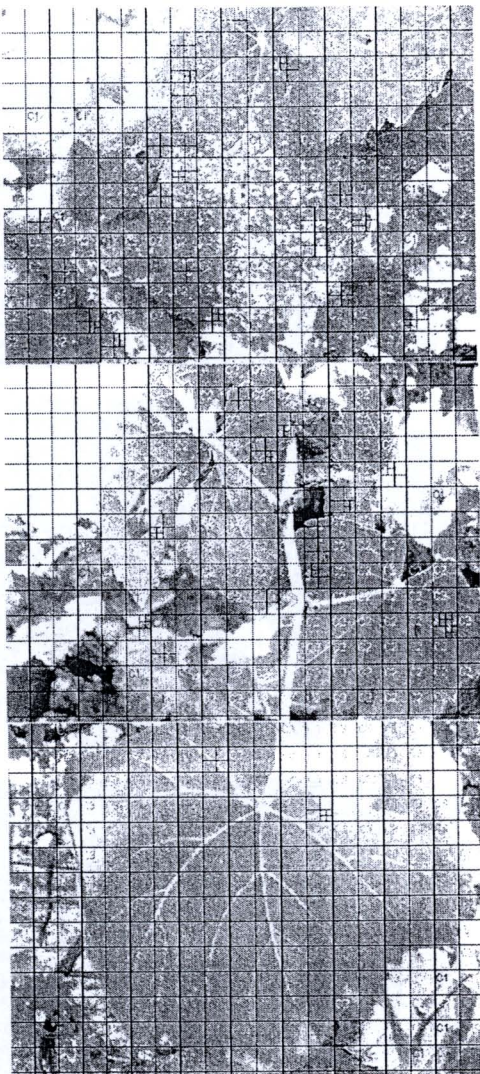
(ข) ภาพการวินิจฉัยโรคในอุ่นที่ผ่าน"/>

การปรับสีและแสง

รูปที่ 6.14 ตัวอย่างการวินิจฉัยโรคในอุ่นจากภาพที่มีความซับซ้อนมาก

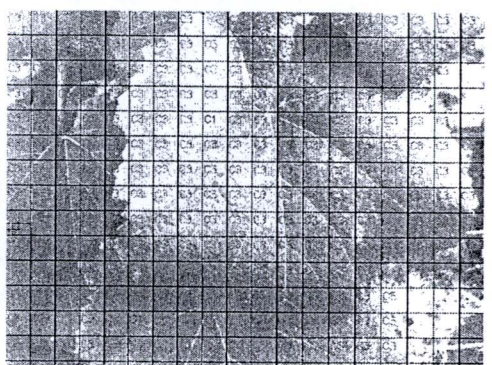
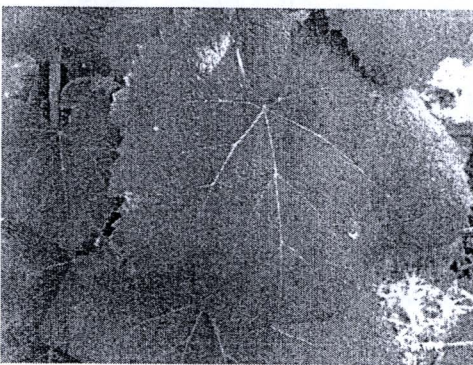
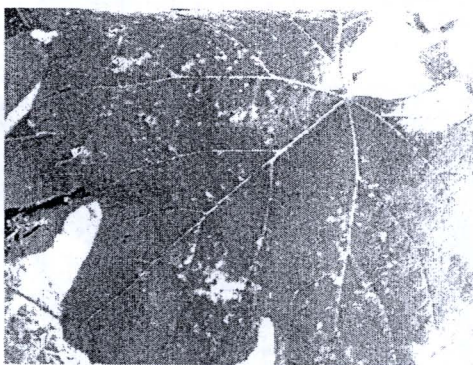
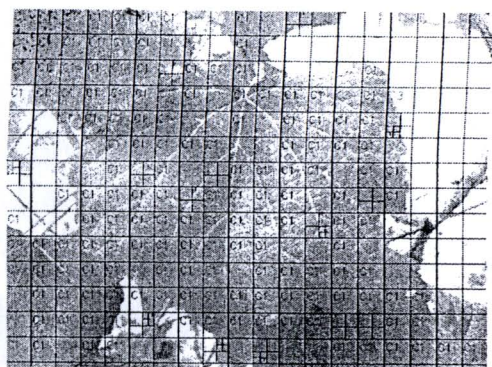
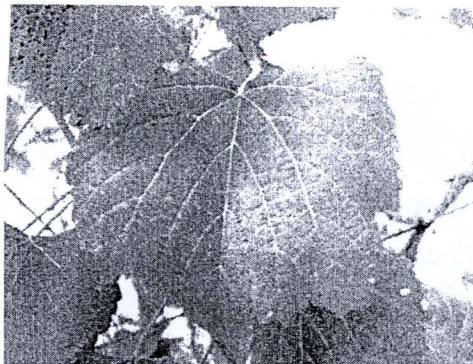


(ก) ภาพด้านบน

(ข) ภาพการวินิจฉัยโรคใบอุรุ่นที่ผ่าน  
การปรับสีและแสง

รูปที่ 6.14 ตัวอย่างการวินิจฉัยโรคใบอุรุ่นจากภาพที่มีความซับซ้อนมาก (ต่อ)





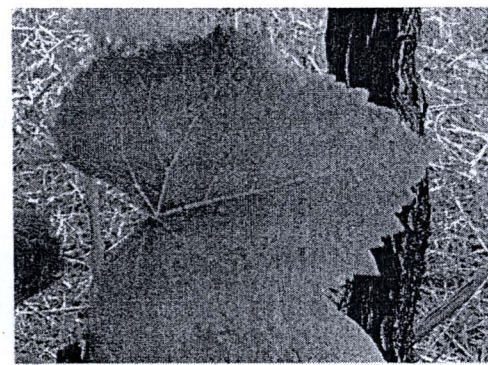
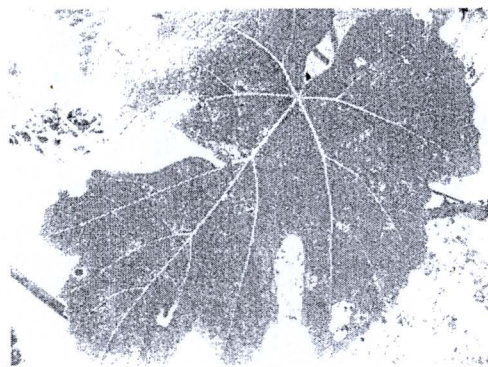
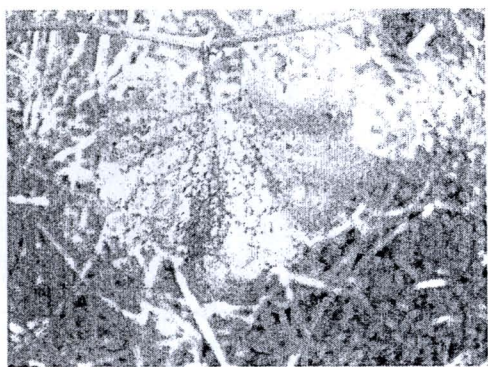
(ก) ภาพต้นแบบ

(ข) ภาพการวินิจฉัยโรคในองุ่นที่ผ่าน

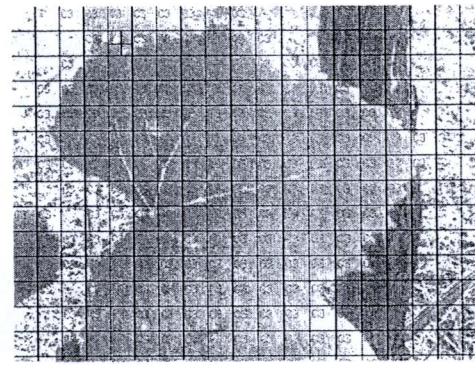
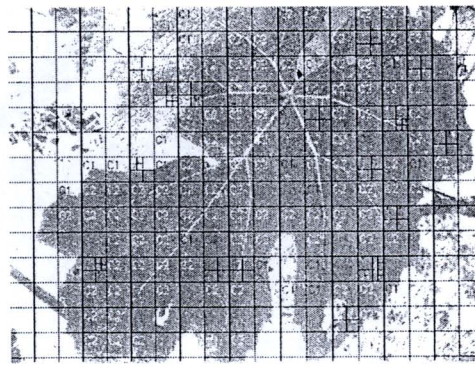
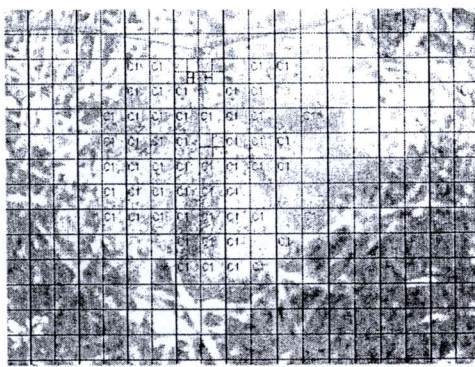
การปรับสีและแสง

รูปที่ 6.15 ตัวอย่างการวินิจฉัยโรคใบอ่อนจากภาพที่มีความชัดช้อนปานกลาง

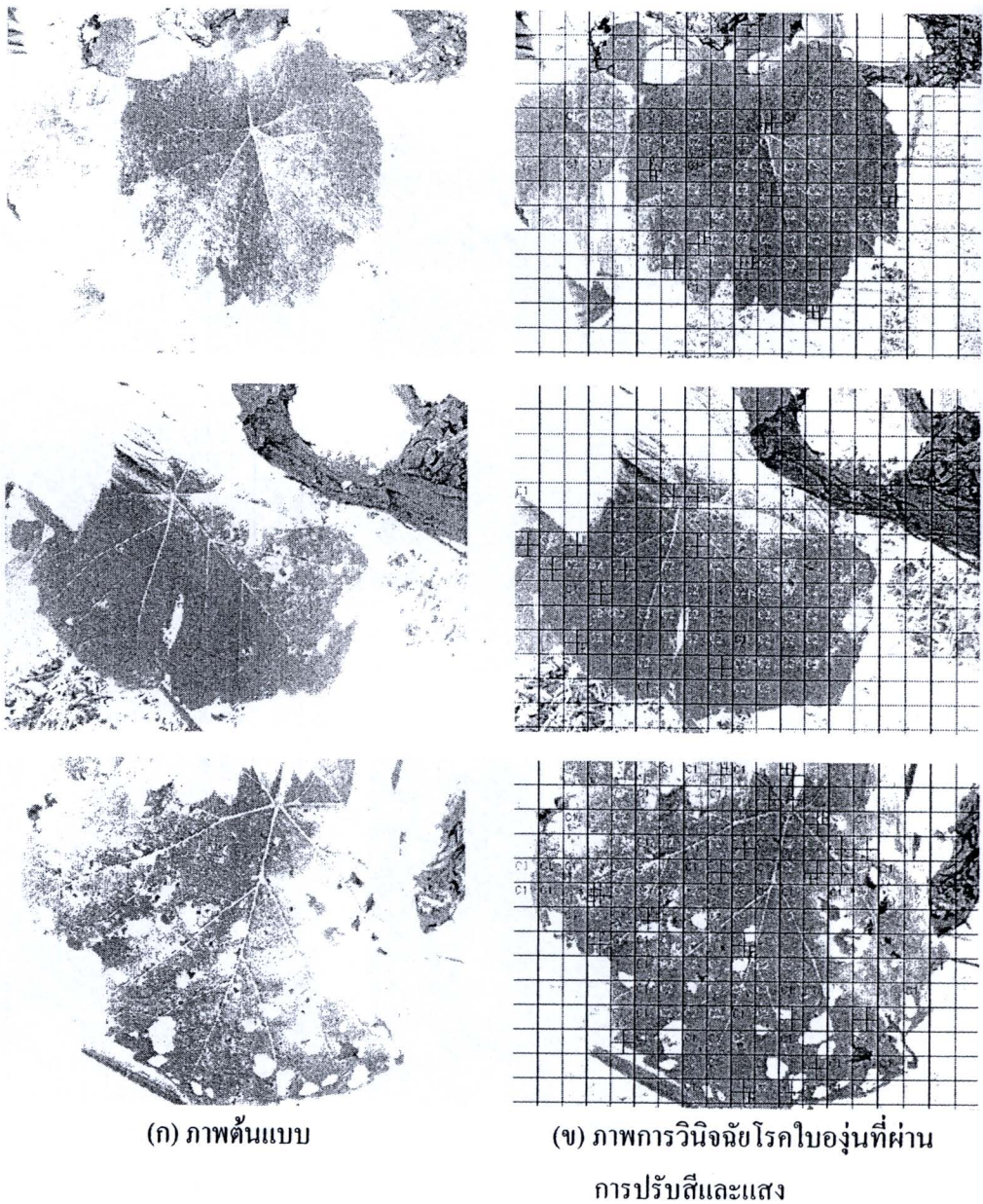




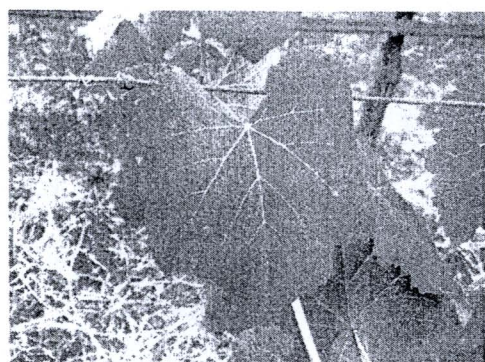
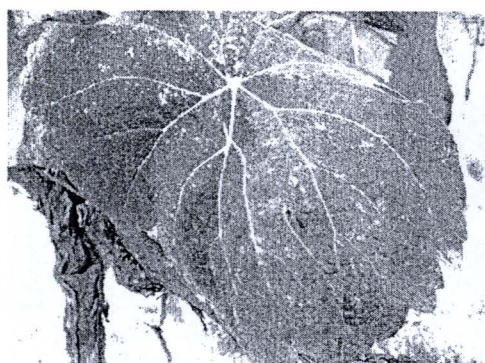
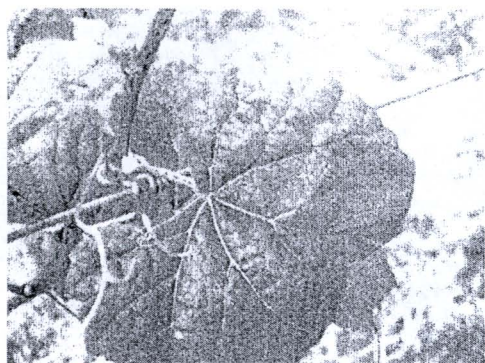
(ก) ภาพด้านบน

(ข) ภาพการวินิจฉัยโรคในอุ่นที่ผ่าน  
การปรับสีและแสง

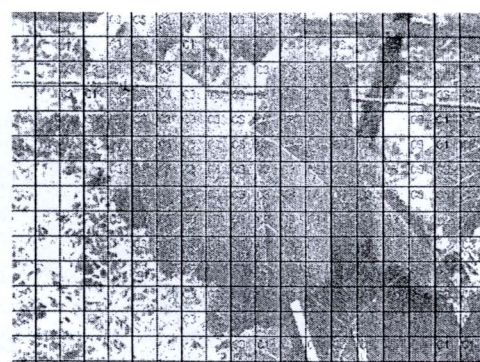
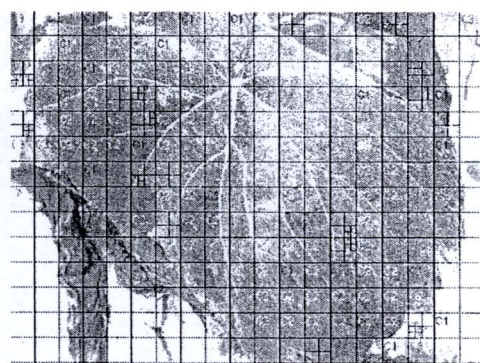
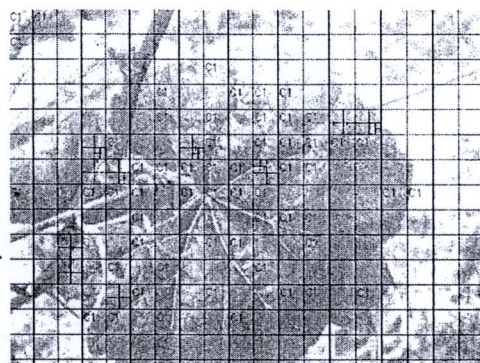
รูปที่ 6.16 ตัวอย่างการวินิจฉัยโรคในอุ่นจากภาพที่มีความซับซ้อนน้อย



รูปที่ 6.17 ตัวอย่างการวินิจฉัยโรคในอุ่นจากภาพที่สภาวะแสงสว่างมาก



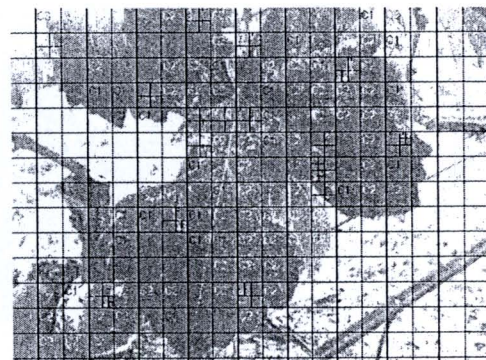
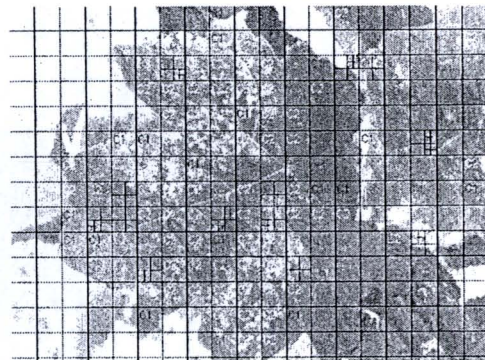
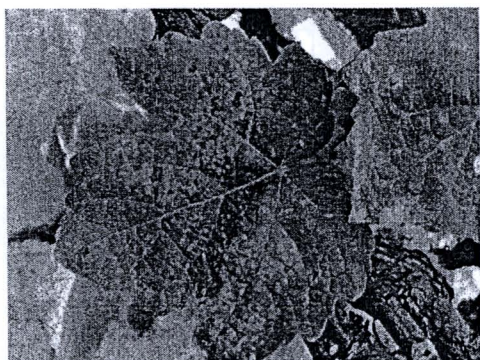
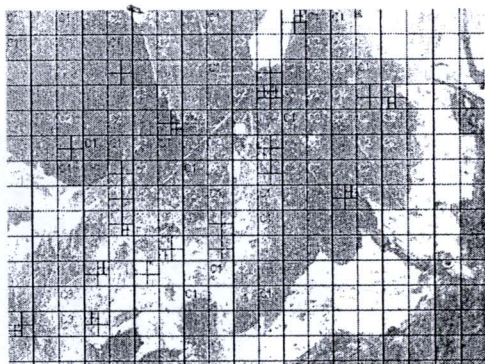
(ก) ภาพด้านบน



(ข) ภาพการวินิจฉัยโรคในอุ่นที่ผ่าน

การปรับสีและแสง

รูปที่ 6.18 ตัวอย่างการวินิจฉัยโรคในอุ่นจากภาพที่สภาวะแสงสว่างปานกลาง

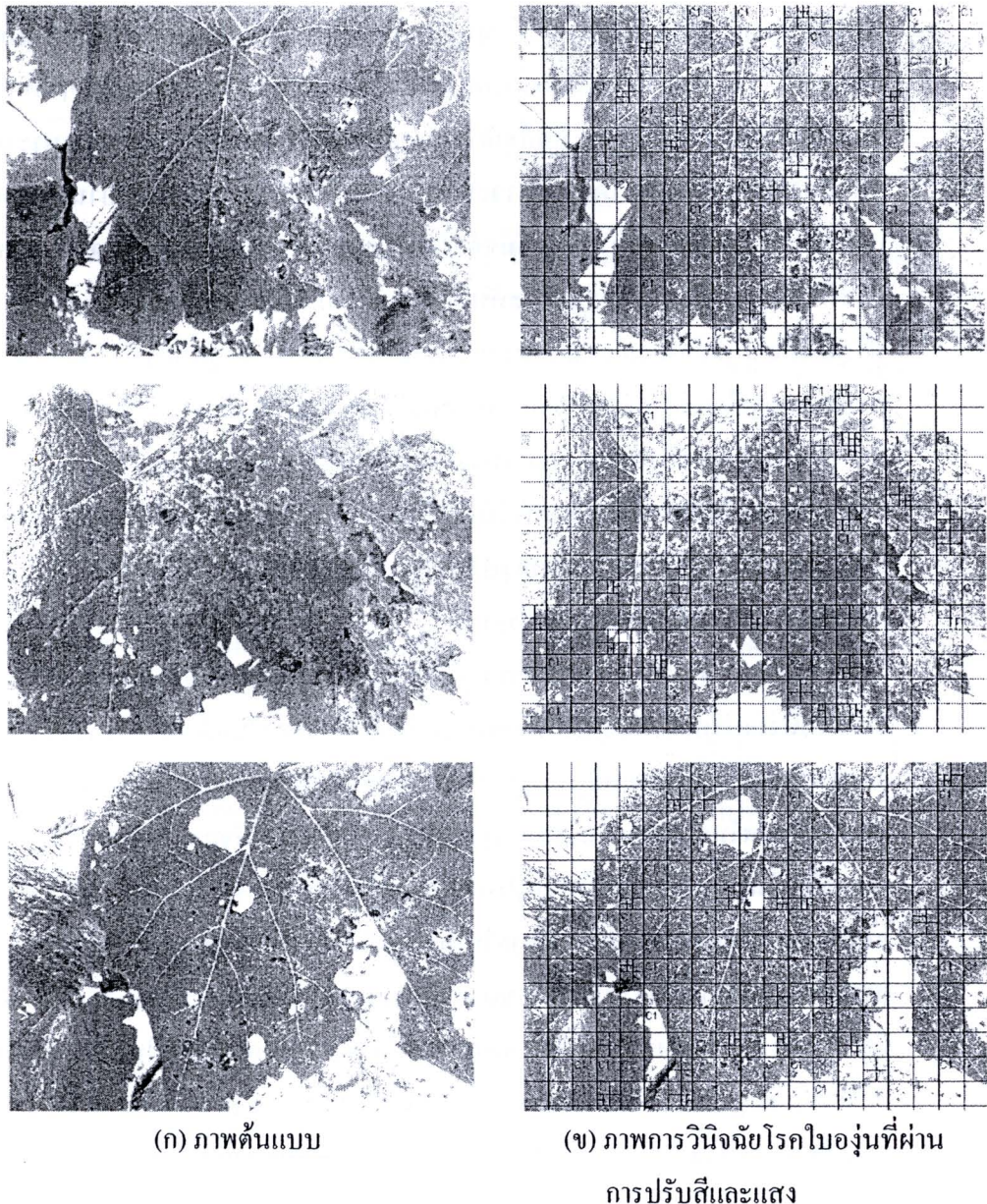


(ก) ภาพตื้นแบบ

(ข) ภาพการวินิจฉัยโรคใบอุ่นที่ผ่าน

การปรับสีและแสง

รูปที่ 6.19 ตัวอย่างการวินิจฉัยโรคใบอุ่นจากภาพที่สภาวะมีดครึ่ม



รูปที่ 6.20 ตัวอย่างการวินิจฉัยโรคในอุ่นจากภาพสภาวะที่มีหยดน้ำบนพื้นผิวใน

เมื่อทำการพิจารณาการวินิจฉัยโรคในอุ่นจากภาพตามลักษณะความชันช้อนของภาพได้แก่ ลักษณะภาพที่มีความชันช้อนน้อย ลักษณะภาพที่มีความชันช้อนปานกลาง และลักษณะภาพที่มีความชันช้อนมากพบว่าระบบสามารถทำการวินิจฉัยโรคในอุ่นจากภาพที่ความชันช้อนน้อยและปานกลางในลักษณะการวางแผนตัวและขนาดของใบที่หลากหลายได้อย่างมีประสิทธิภาพ สำหรับการวินิจฉัยโรคในอุ่นจากภาพที่ความชันช้อนมากระบบบันทึกสามารถทำการวินิจฉัยโรคได้อย่างมี

ประสิทธิภาพ แต่บังคับมิในกรณีที่มีก่อคุณในหรือก่อคุณให้ก่อภัยในอุณภัยในภาพเมื่อทำการคัดแยกสีโรคออกจากใบในอุณหภูมิที่มีสีคล้ายใบในอุณภัยในภาพเมื่อทำการคัดแยกสีโรคออกจากใบในอุณหภูมิเป็นผลให้ปรากฏส่วนของช่องว่างเล็ก ๆ ที่อยู่ระหว่างก่อคุณในหรือก่อคุณซึ่งมีลักษณะสีคล้ายสีโรค นอกจากนี้บังพิจารณาทำการทดสอบระบบเมื่อมีสภาวะแสงสว่างที่แตกต่างกัน ได้แก่ สภาวะแสงสว่างมาก สภาวะแสงสว่างปานกลางและสภาวะมีดครึ่น พนว่าระบบบังคับสามารถการวินิจฉัยโรคในอุณหภูมิที่ความแตกต่างของสภาวะแสงสว่างได้อย่างมีประสิทธิภาพ เนื่องจากการปรับระดับสีและแสงตามข้อมูลภาพข้างอิงและการเลือกพิจารณาช่องปริภูมิสีที่สามารถดึงคุณลักษณะเด่นแยกความแตกต่างของข้อมูลที่สนใจได้อย่างชัดเจนโดยไม่ทำการพิจารณาเลือกช่องปริภูมิสีที่เกี่ยวข้องกับระดับความสว่างของภาพเพื่อลดข้อจำกัดทางด้านแสงสว่างและกำจัดผลของความแตกต่างทางด้านความเข้มของสีในอุณหภูมิที่แตกต่างกันตามลักษณะอาชญากรรมในอิกกั้งเมื่อทำการพิจารณาการวินิจฉัยโรคในอุณหภูมิที่มีขบวนพื้นผิวใน พนว่าระบบบังคับสามารถทำการวินิจฉัยโรคในอุณหภูมิได้อย่างมีประสิทธิภาพ โดยที่ขบวนพื้นผิวไม่ส่งผลกระแทกใด ๆ ต่อการวินิจฉัยโรคของระบบ

และเมื่อพิจารณาความสามารถในการวินิจฉัยโรคของพืชจากใบพืชของระบบเบรียบเทียบกับการวินิจฉัยโรคของพืชจากใบพืชของงานวิจัยที่เกี่ยวข้องในอดีต ดังแสดงรายละเอียดในตารางที่ 6.3 พนว่าระบบที่นำเสนอมีความถูกต้องในการวินิจฉัยโรคแต่ละประเภทสูงถึง 91.12% และมีประสิทธิภาพในการตรวจจับโรคพืชสูงถึง 99.33% ซึ่งการวินิจฉัยโรคพืชจากใบพืชของงานวิจัยที่เกี่ยวข้องในอดีตโดยส่วนใหญ่เป็นการวินิจฉัยโรคด้วยกระบวนการประมวลผลภาพและคอมพิวเตอร์วิทัศน์จากข้อมูลภาพภายนอกห้องปฏิบัติการที่ทำการควบคุมปัจจัยต่าง ๆ อันได้แก่ แสงสว่างความชื้นช้อนของภาพพื้นหลัง ขนาด ลักษณะการวางตัว จำนวนข้อมูลและการซ้อนทับของใบพืช เป็นต้น ในขณะที่งานวิจัยนี้ได้นำเสนอการวินิจฉัยโรคของพืชจากใบพืชภายนอกสถานที่จริงและสามารถวินิจฉัยโรคพืชได้ครอบคลุมปัจจัยต่าง ๆ ที่เกี่ยวข้อง ได้แก่ จำนวนภาพในอุณหภูมิ รูปร่าง ลักษณะการวางตัวของใบในอุณหภูมิ ระดับความสว่างและสีของกล้องคิจทัลแต่ละประเภทที่แตกต่างกันในสภาวะที่ซับซ้อนของพื้นหลัง เป็นต้น

ตารางที่ 6.3 ความสามารถในการวินิจฉัยโรคของพีชจากใบพีชของระบบและงานวิจัยที่เกี่ยวข้องในอดีต

ผู้วิจัย	El-Helly, et al (2003)	Pydipati, et al (2006)	Huang (2007)	งานวิจัยนี้
ประเภทใบพีช	ใบแดงกว่า	ใบพีชตระกูล ส้ม	ใบ กล้ำบไม้	ใบอ่อน
ประเภทกล้อง	mono, visible	mono, visible	mono, visible	<b>mono, visible</b>
ประสิทธิภาพ วินิจฉัยโรค	ความถูกต้อง	88%	89.6%	95%
	การตรวจขับ	92%	97.2%	<b>99.33%</b>
จำนวนใบมากกว่า 1 ใน	ไม่ได้	ไม่ได้	ไม่ได้	ได้
ไม่ควบคุมความชื้นช้อนภาพ พื้นหลัง	ไม่ได้	ไม่ได้	ไม่ได้	ได้
ไม่ควบคุมสภาพแสง	ไม่ได้	ไม่ได้	ไม่ได้	ได้
ความหลากหลายของขนาด รูปร่างและมุนของใบ	ไม่ได้	ไม่ได้	ไม่ได้	ได้
ชุดทดสอบ	250 ภาพ	145 ภาพ	80 ภาพ	<b>115 ภาพ</b>